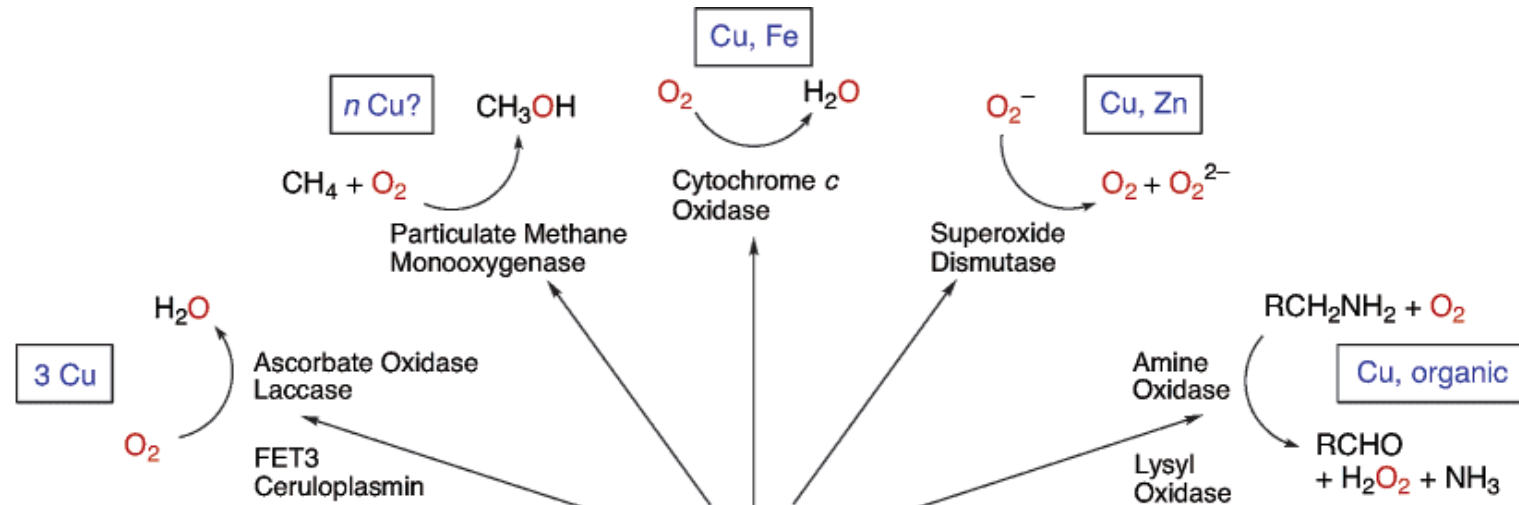
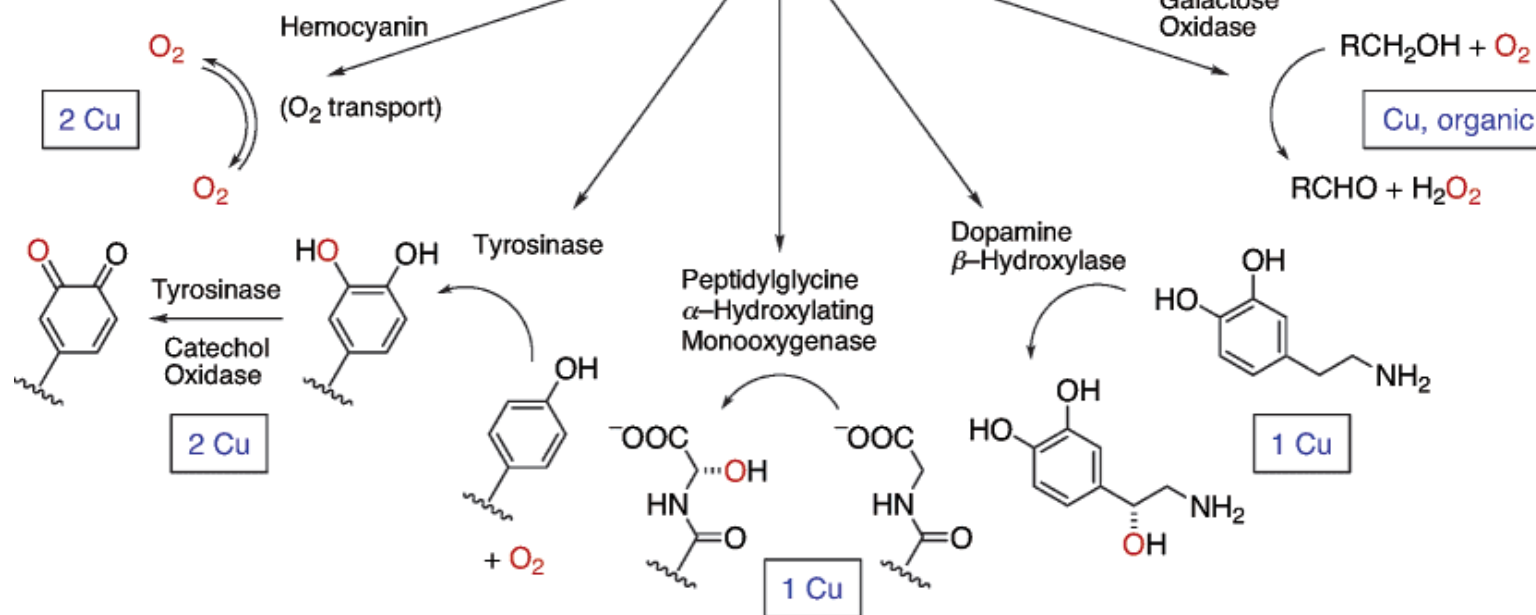


# Proteine al rame



## reattività ferro-ossidasica

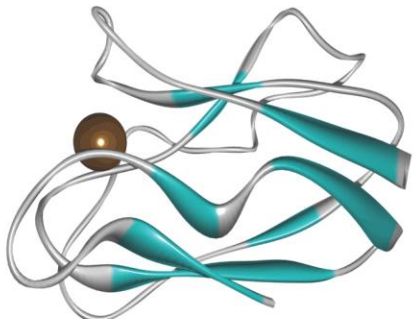
$$E^\circ_{\text{Cu(II)/Cu(I)}} > E^\circ_{\text{Fe(III)/Fe(II)}}$$



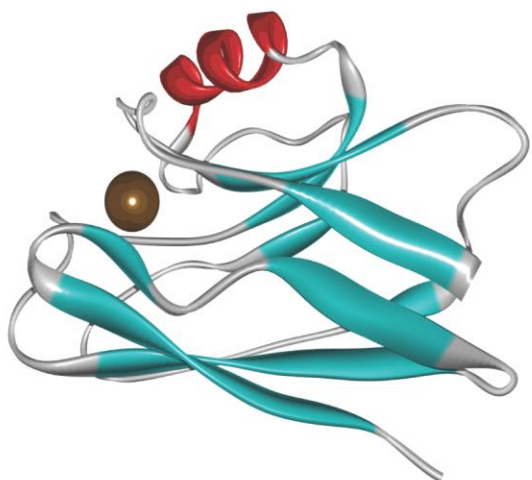
**Table 10.2** Characteristics of ‘classical’ copper centers in protein

generalized coordination geometry	function, structure, characteristics
<b>type 1</b> 	<b>type 1:</b> ‘blue’ copper centers function: reversible electron transfer $\text{Cu}^{\text{II}} + \text{e}^- \rightleftharpoons \text{Cu}^{\text{I}}$ structure: strongly distorted, (3+1) coordination absorption of the copper(II) form at about 600 nm, molar extinction coefficient $\epsilon > 2000 \text{ M}^{-1}\text{cm}^{-1}$ ; LMCT transition $\text{S}(\text{Cys}^-) \rightarrow \text{Cu}^{\text{II}}$ EPR/ENDOR of the oxidized form: small $^{63,65}\text{Cu}$ hyperfine coupling and g anisotropy, interaction of the electron spin with $\cdot\text{S}-\text{CH}_2-$ ; $\text{Cu}^{\text{II}} \rightarrow \text{S}(\text{Cys})$ spin delocalization
<b>type 2</b> 	<b>type 2:</b> normal, ‘non-blue’ copper function: $\text{O}_2$ activation from the $\text{Cu}^{\text{I}}$ state in cooperation with organic coenzymes structure: essentially planar with weak additional coordination (Jahn-Teller effect for $\text{Cu}^{\text{II}}$ ) typically weak absorptions of $\text{Cu}^{\text{II}}$ , $\epsilon < 1000 \text{ M}^{-1}\text{cm}^{-1}$ ; ligand-field transitions ( $d \rightarrow d$ ) normal $\text{Cu}^{\text{II}}$ EPR
<b>type 3</b> 	<b>type 3:</b> copper dimers function: $\text{O}_2$ uptake from the $\text{Cu}^{\text{I}}-\text{Cu}^{\text{I}}$ state structure: (bridged) dimer, Cu–Cu distance about 360 pm after $\text{O}_2$ uptake intense absorptions around 350 and 600 nm, $\epsilon \approx 20000$ and $1000 \text{ M}^{-1}\text{cm}^{-1}$ ; LMCT transitions $\text{O}_2^{\cdot-} \rightarrow \text{Cu}^{\text{II}}$ EPR-inactive $\text{Cu}^{\text{II}}$ form (antiferromagnetically coupled $d^9$ centers)

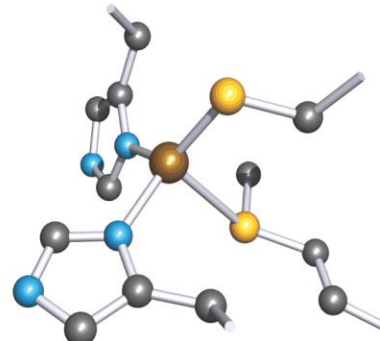
Plastocianina  
(da spinaci)  
10.5 kDa,  
ca. 100 a.a.



Azurina  
(da batteri)  
14.5 kDa,  
ca. 130 a.a.

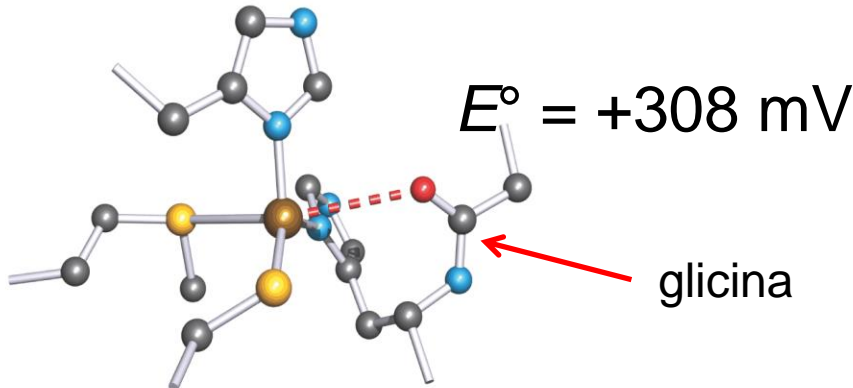


$$E^\circ_{\text{Cu(II)/Cu(I)}} \text{ (aquoione)} = +153 \text{ mV}$$



$$E^\circ = +370 \text{ mV}$$

Coordinazione 3 + 1



$$E^\circ = +308 \text{ mV}$$

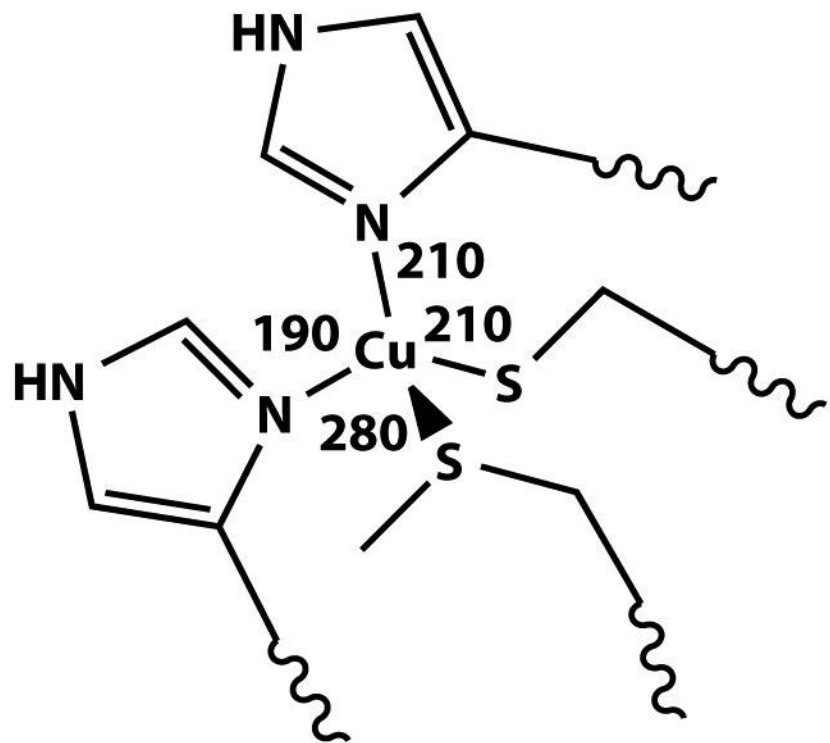
glicina

Coordinazione 3 + 1 + 1

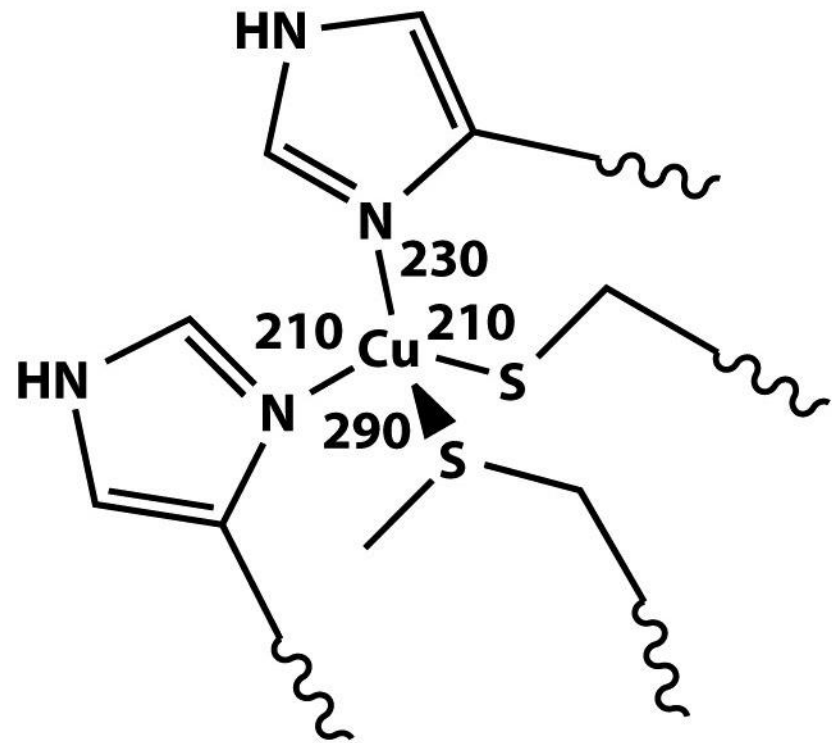
## *Blue copper proteins*

Forte assorbimento a ca. 600 nm, LMCT da Cys<sup>-</sup> a Cu(II)

# Esempio di stato entatico



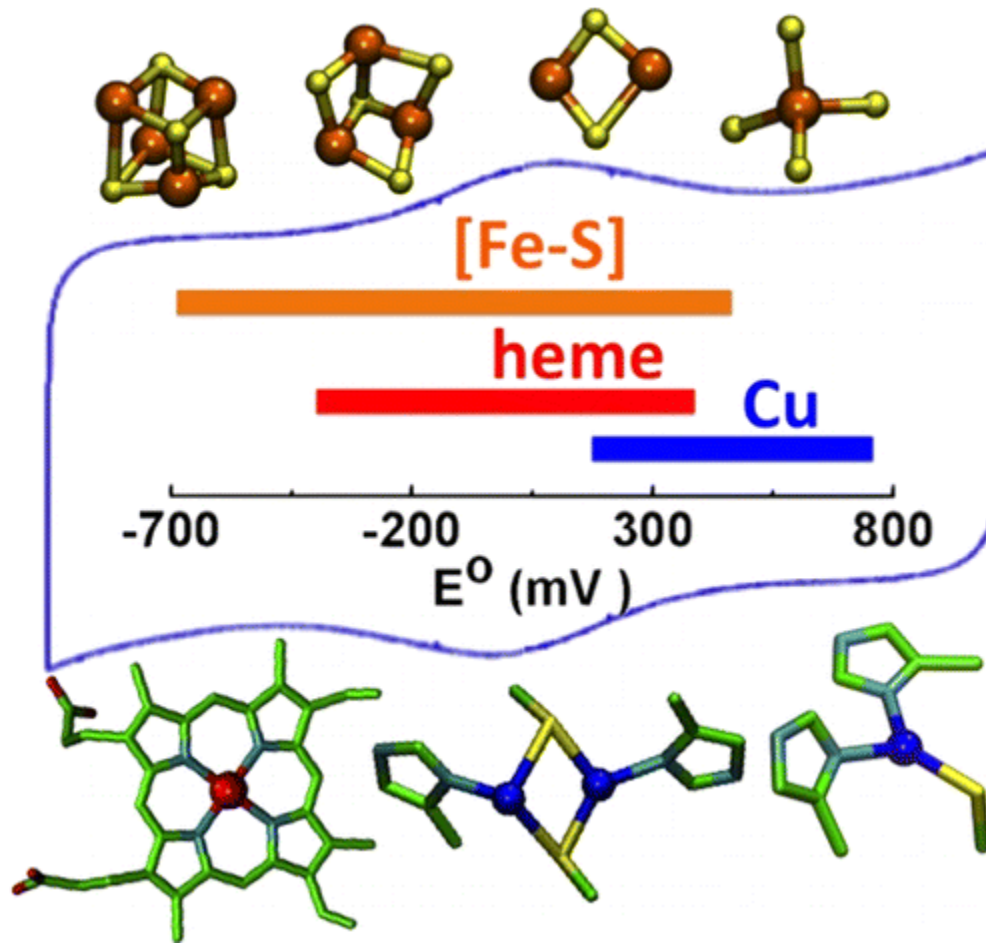
Oxidized plastocyanin



Reduced plastocyanin

velocità di trasferimento elettronico dell'ordine  $10^3\text{--}10^7 \text{ M}^{-1} \text{ s}^{-1}$   
(rispetto a  $5\times 10^{-7} \text{ M}^{-1} \text{ s}^{-1}$  per la coppia  $\text{Cu(II)/Cu(I)}$  aquosa)

# Metallo-proteine per trasferimento elettronico

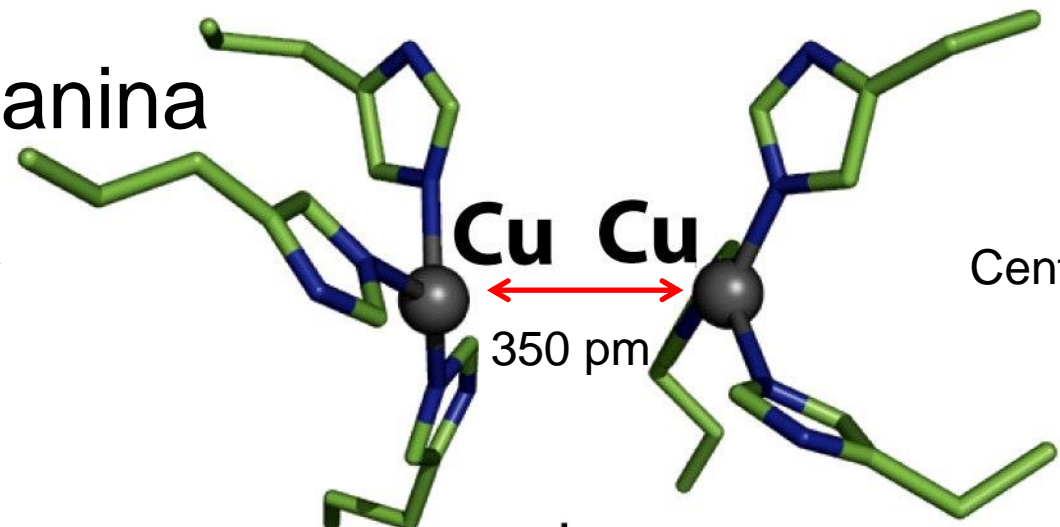


# Trasporto di O<sub>2</sub> mediato da Cu-proteins: Emocianina

# Emocianina

fino a 1500 kDa,  
ogni unità 75 kDa

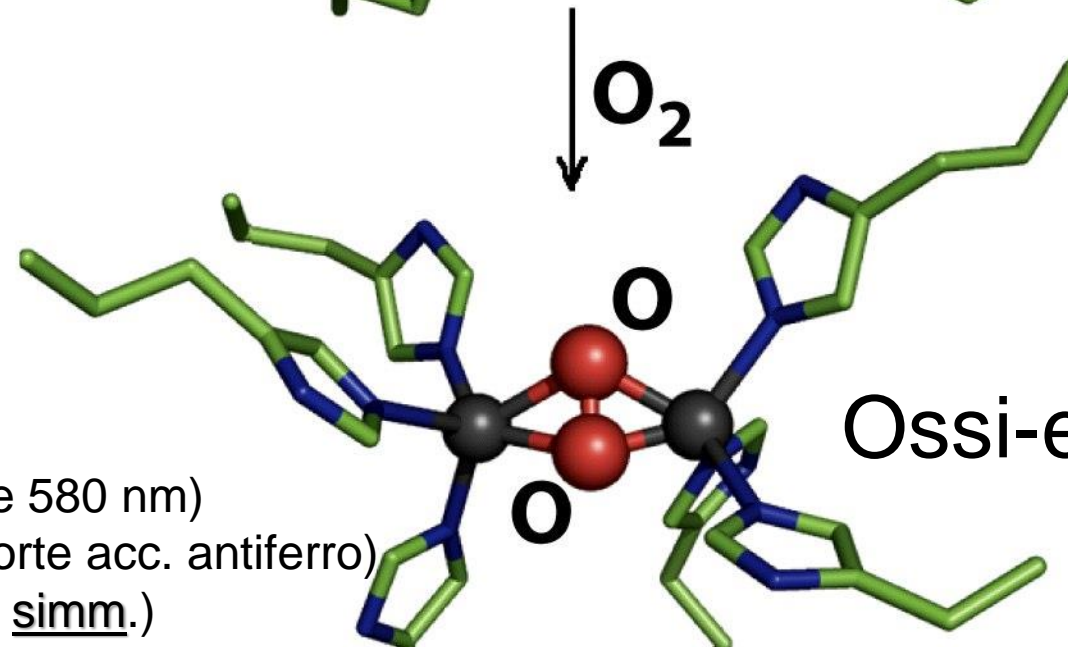
Incolore  
2 Cu(I) ( $S = 0$ )



Centro rame di tipo 3

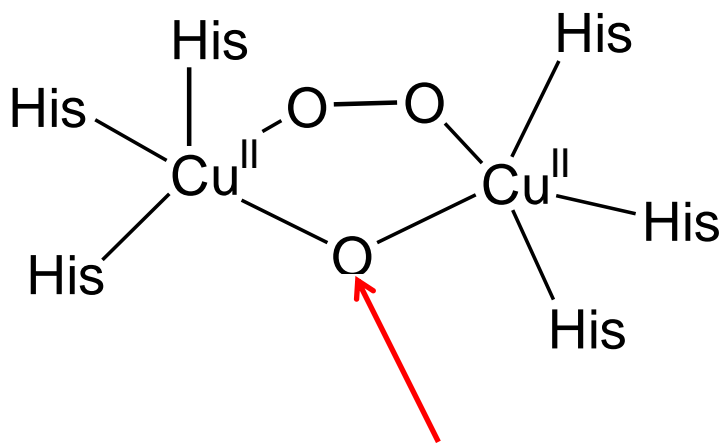
# Ossi-emocianina

Viola (LMCT 350 e 580 nm)  
2 Cu(II) (diamg., forte acc. antiferro)  
IR:  $755 \text{ cm}^{-1}$  ( $\text{O}_2^{2-}$ , simm.)

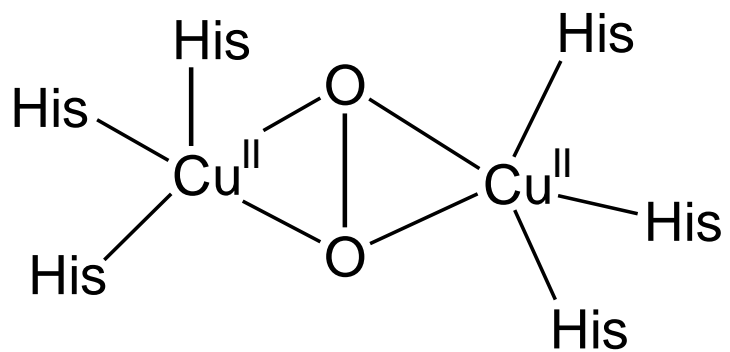


trasporto di  $\text{O}_2$  di molluschi (lumache, calamari) e artropodi  
(granchi, aragoste, gamberi, scorpioni)

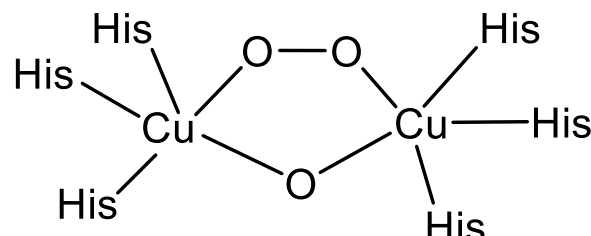
# Possibili coordinazioni simmetriche dello ione perossido



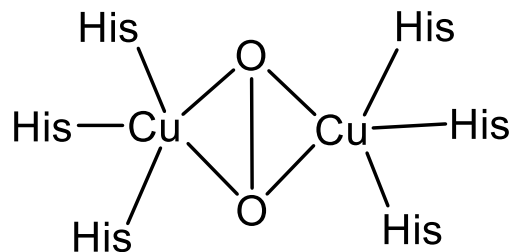
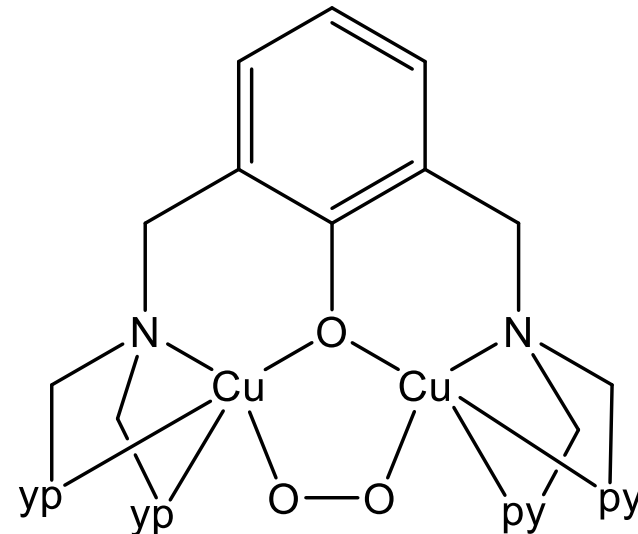
tirosinato?



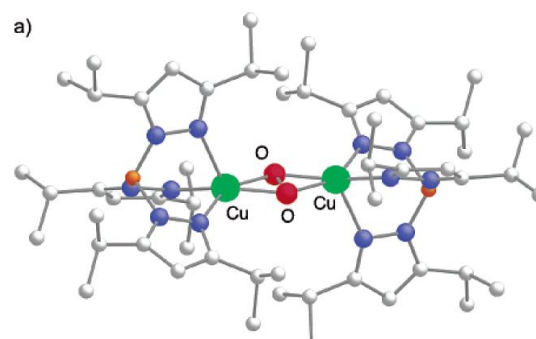
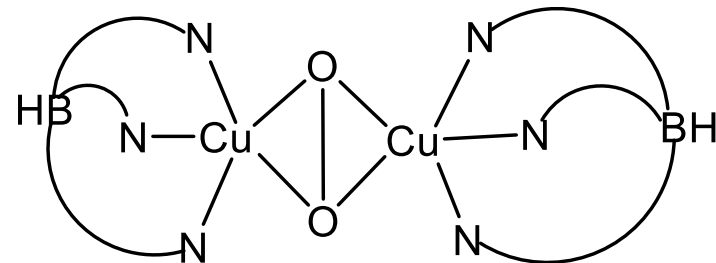
# Modelli per la coordinazione di O<sub>2</sub> alla emocianina



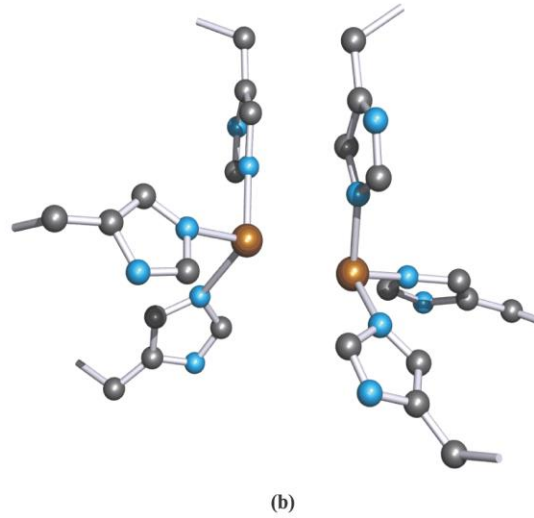
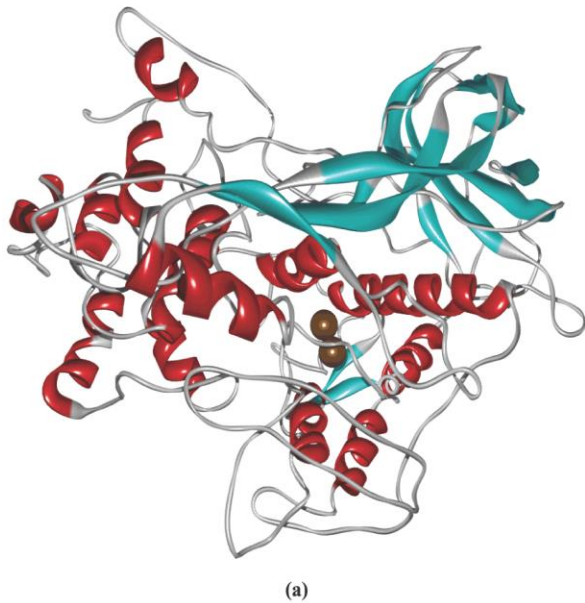
ipotesi sbagliata



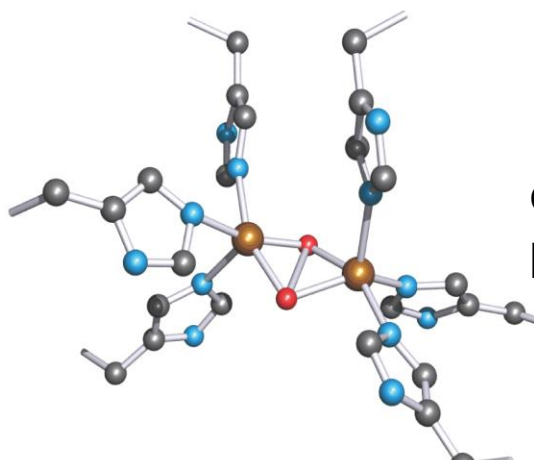
ipotesi corretta



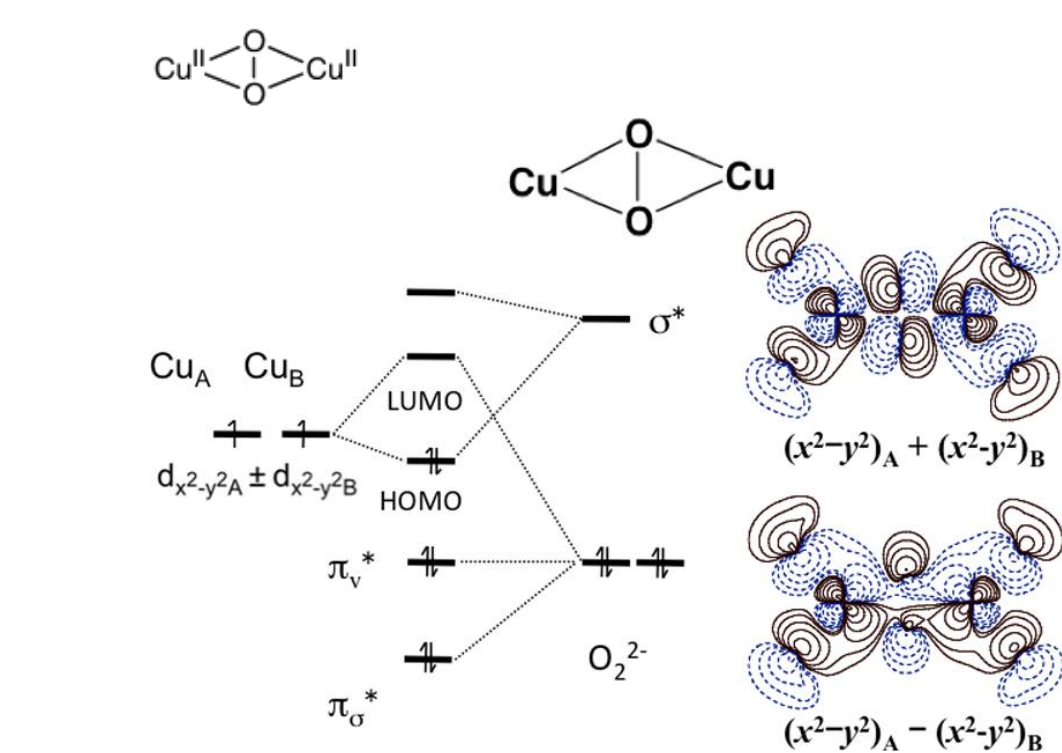
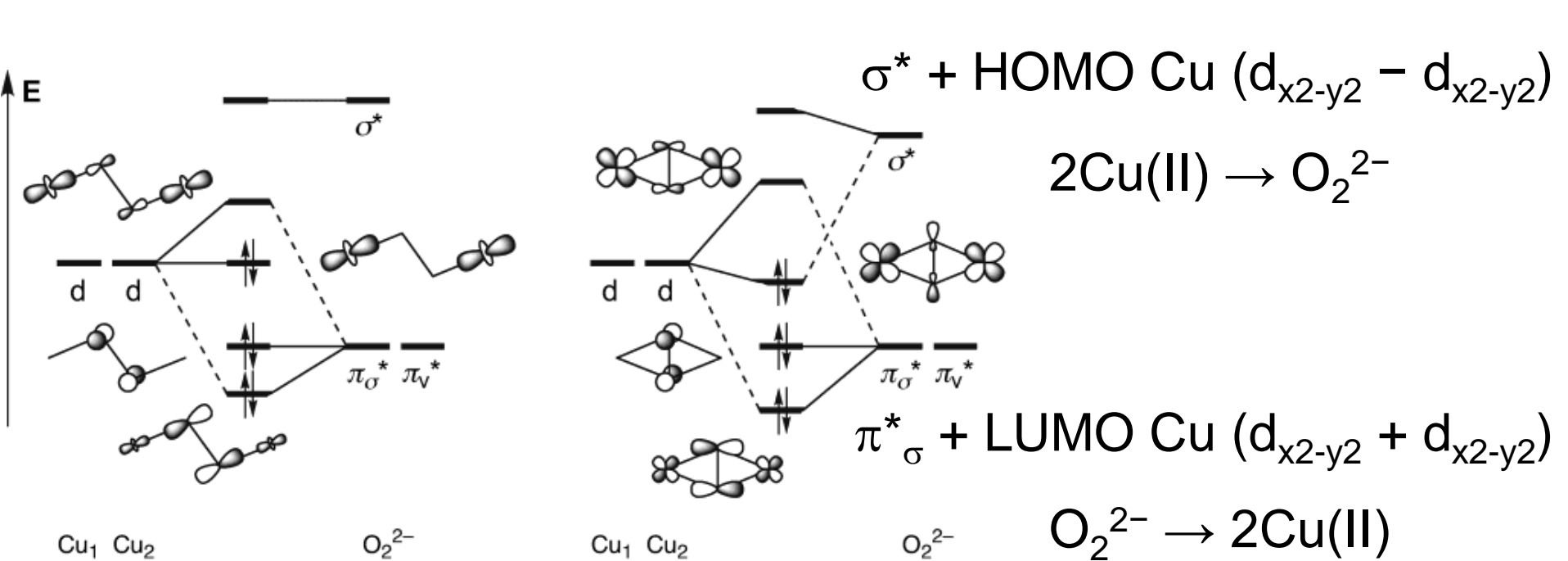
# Emocianina



desossi,  
tricoordinato

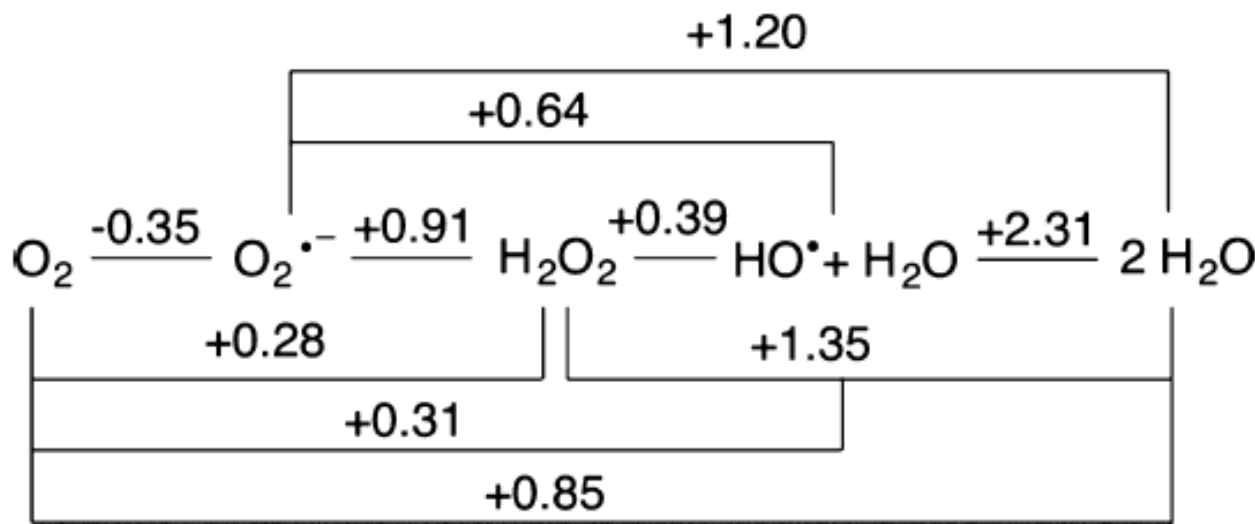


ossi,  
pentacoordinato



# Enzimi al Cu che attivano o riducono O<sub>2</sub>

pH = 7

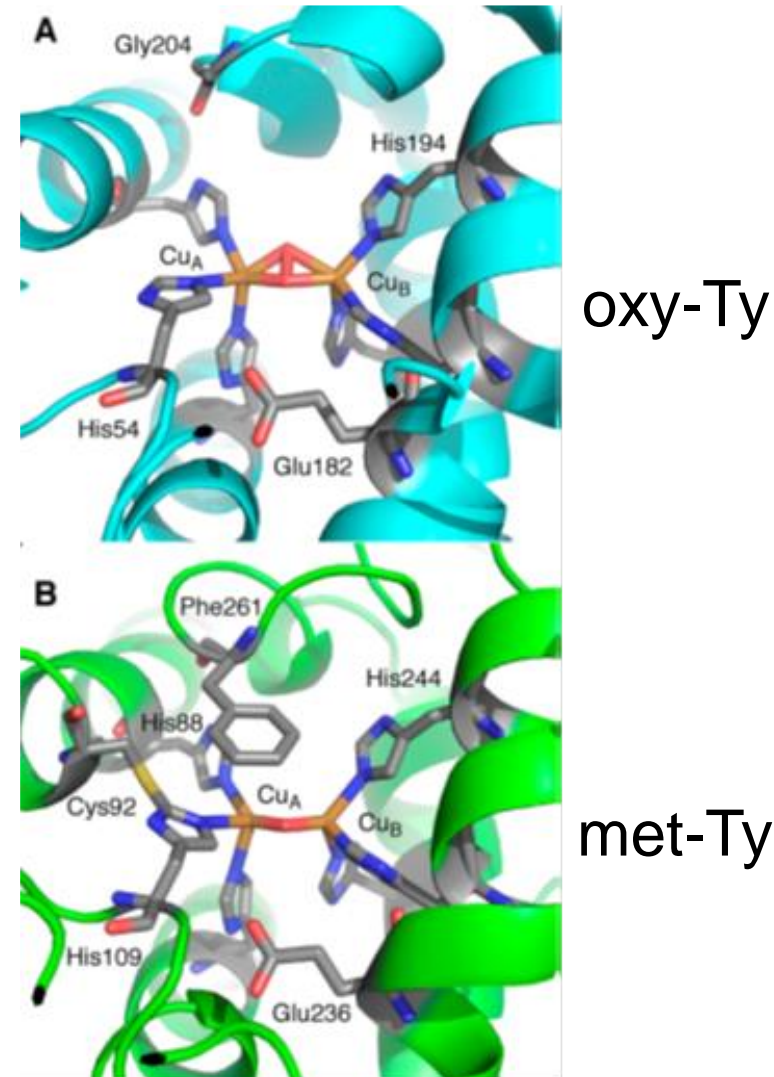
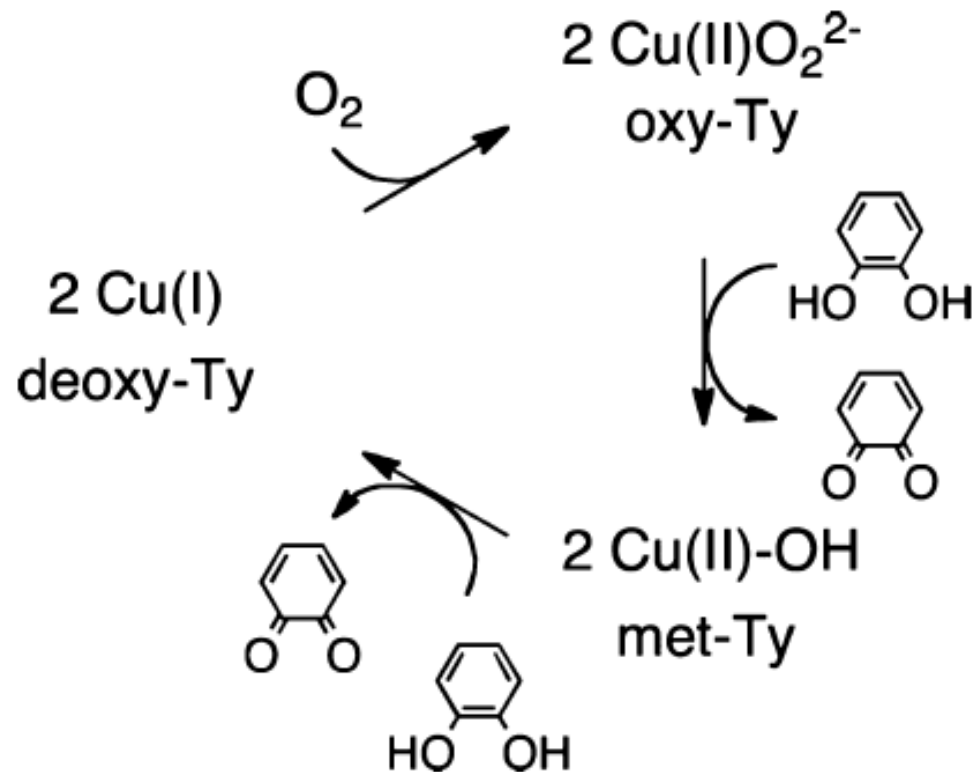
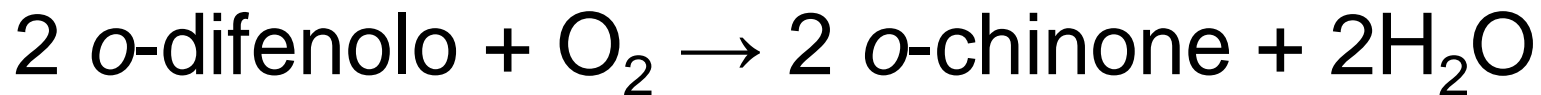


...la riduzione mono-elettronica di O<sub>2</sub> a superossido è termodinamicamente sfavorita ( $E^\circ = -0.35$  V)

fornire due elettroni richiede o la presenza di almeno due ioni Cu oppure di un Cu e di un cofattore organico redox-attivo

# Polifenolo ossidasi

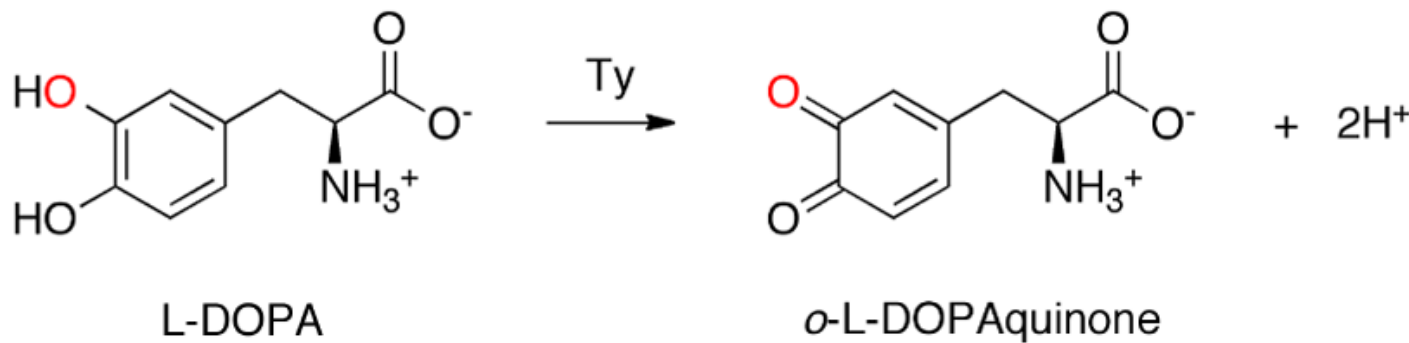
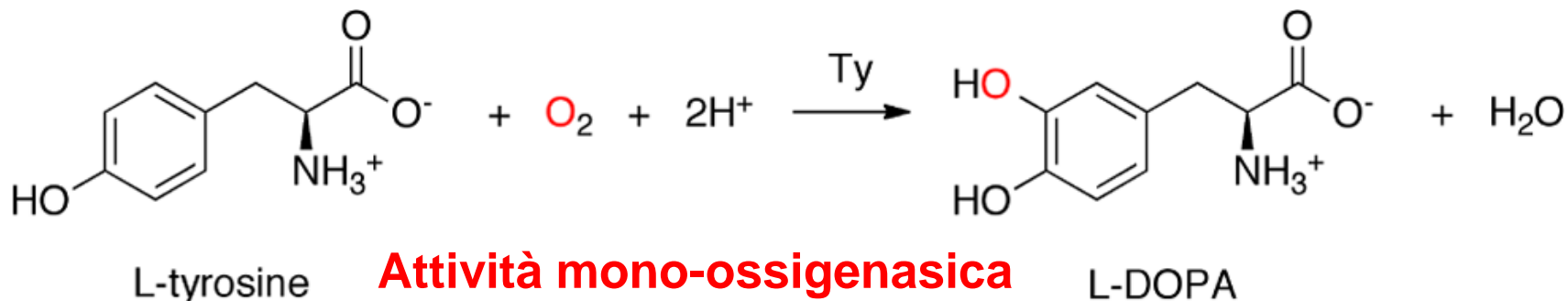
## *Tirosinasi, Catecolo-ossidasi*



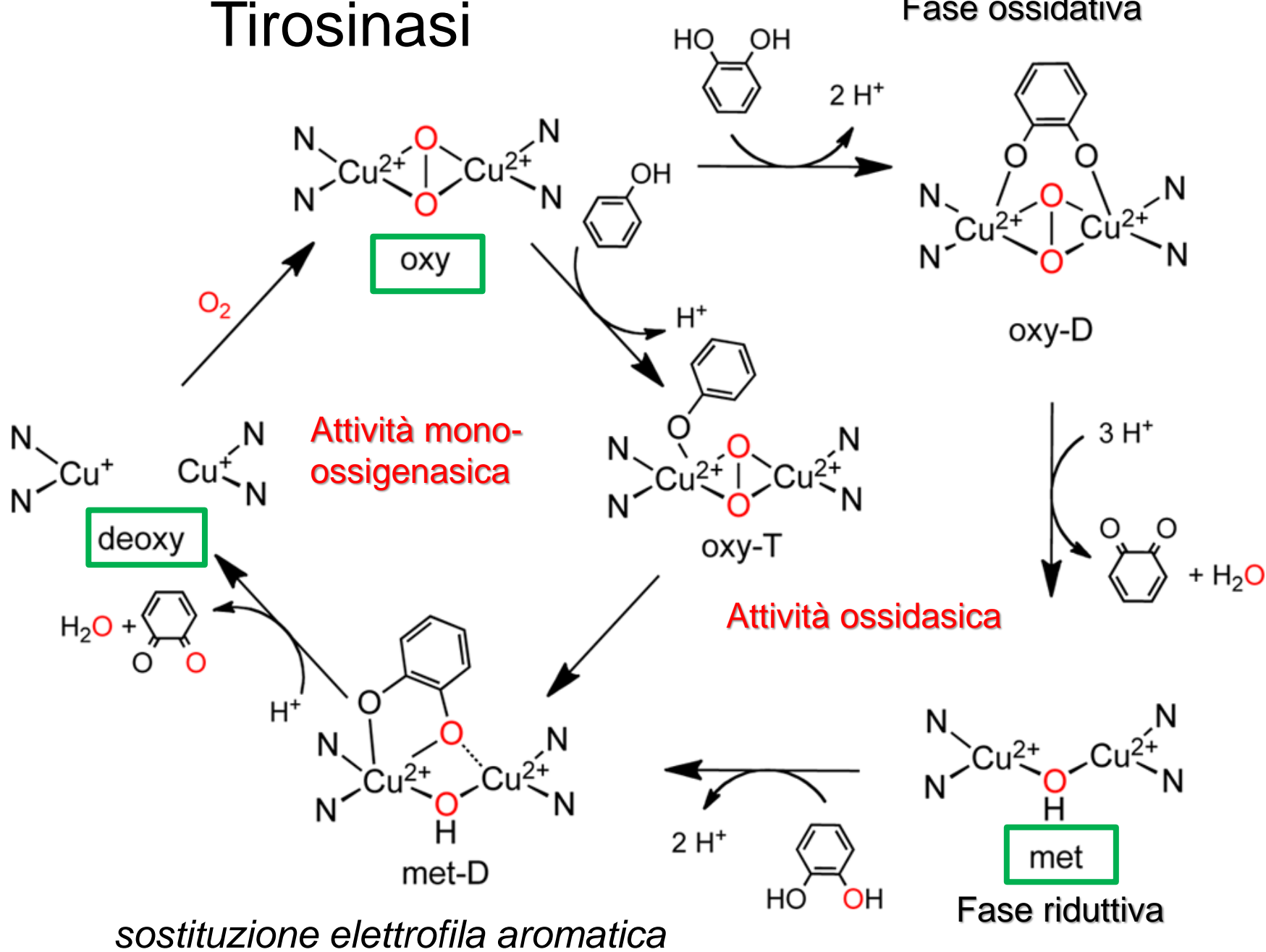
Nel ciclo vengono trasferiti 4 elettroni ai 2O

# Tirosinasi come mono-ossigenasi

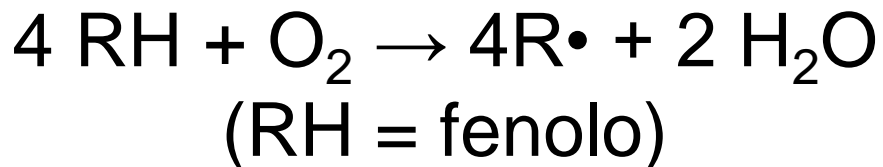
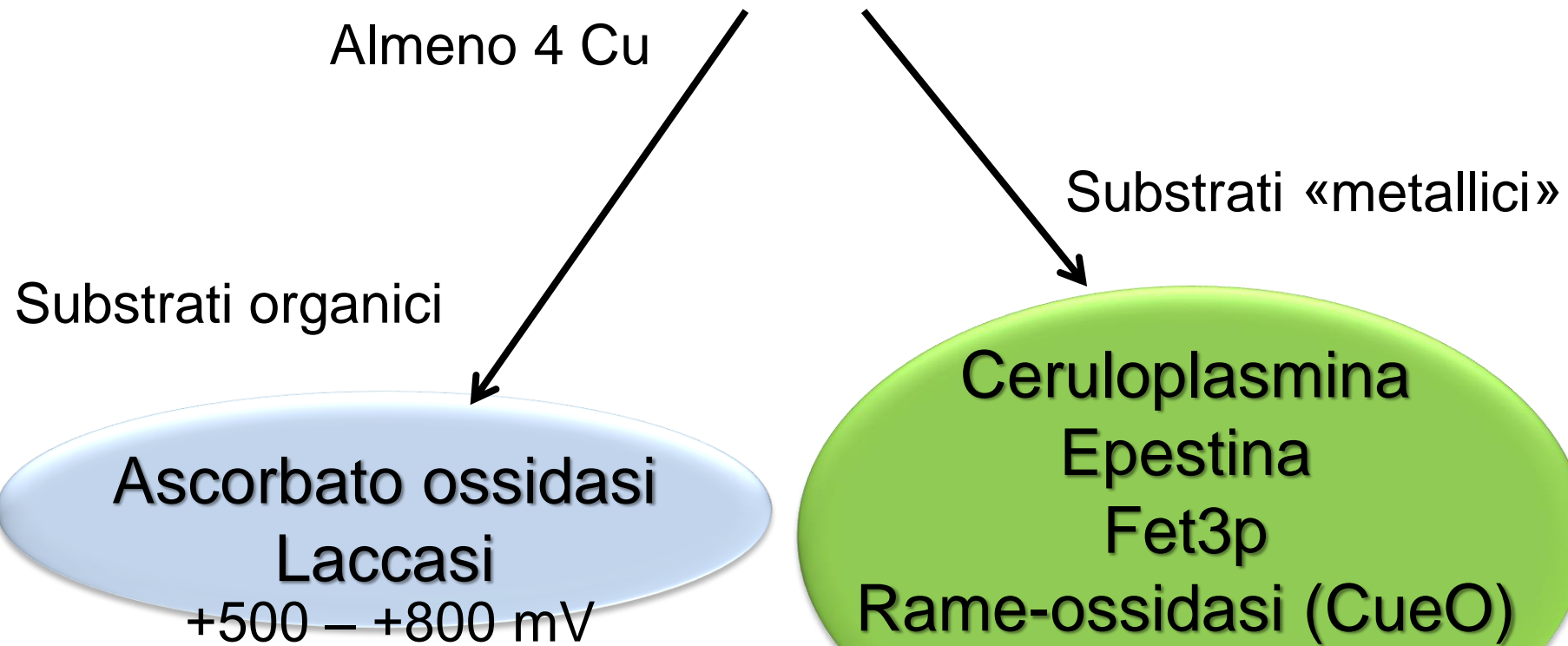
ossi-Ty è *in grado di convertire sia i fenoli in o-difenoli (attività ossigenasica) che gli o-difenoli in o-chinoni, met-T è in grado di ossidare soltanto o-difenoli a o-chinoni*

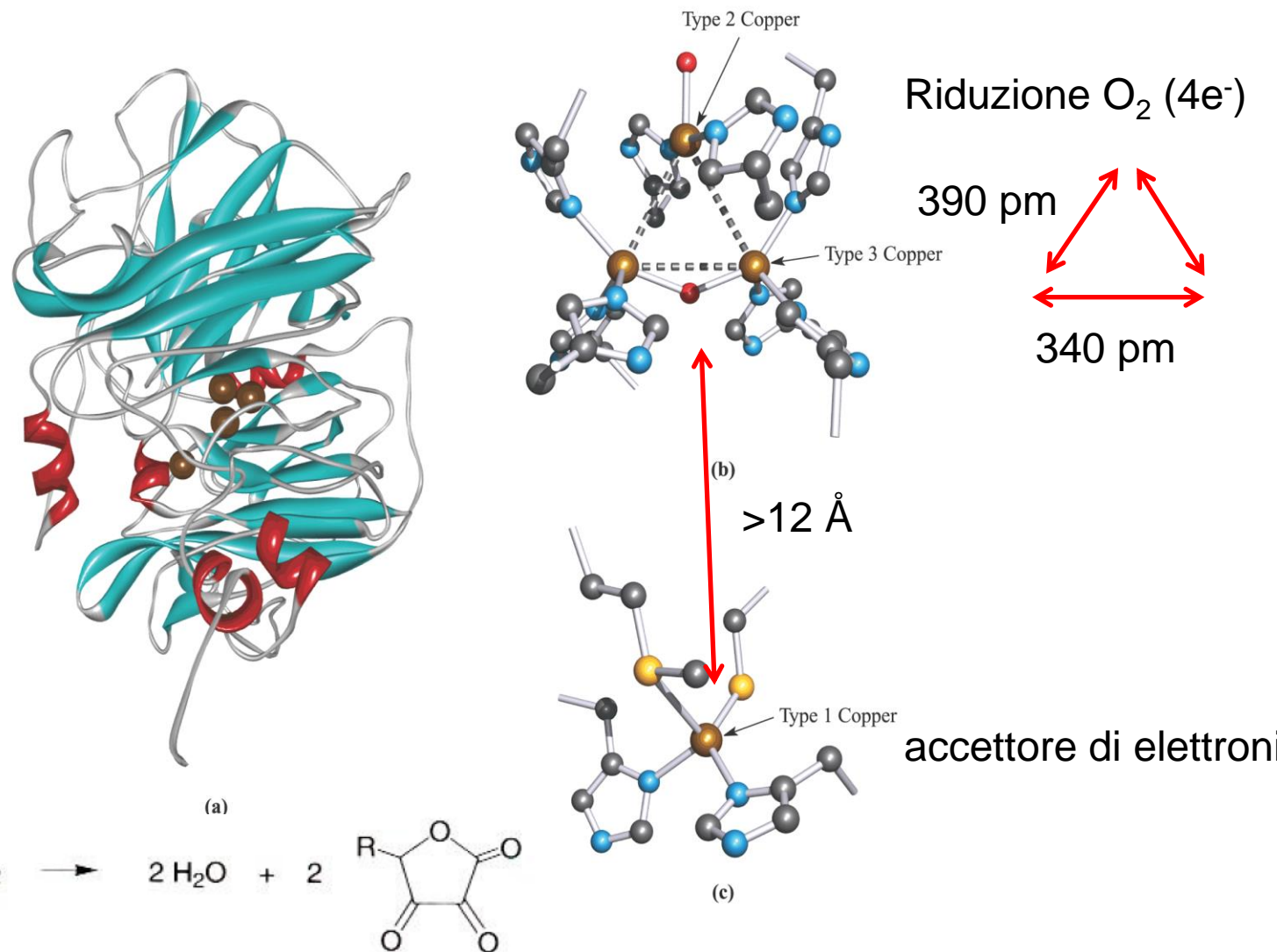


# Tirosinasi

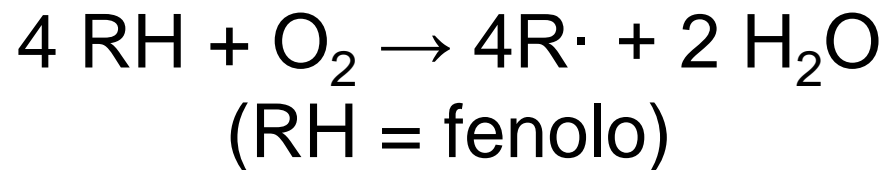


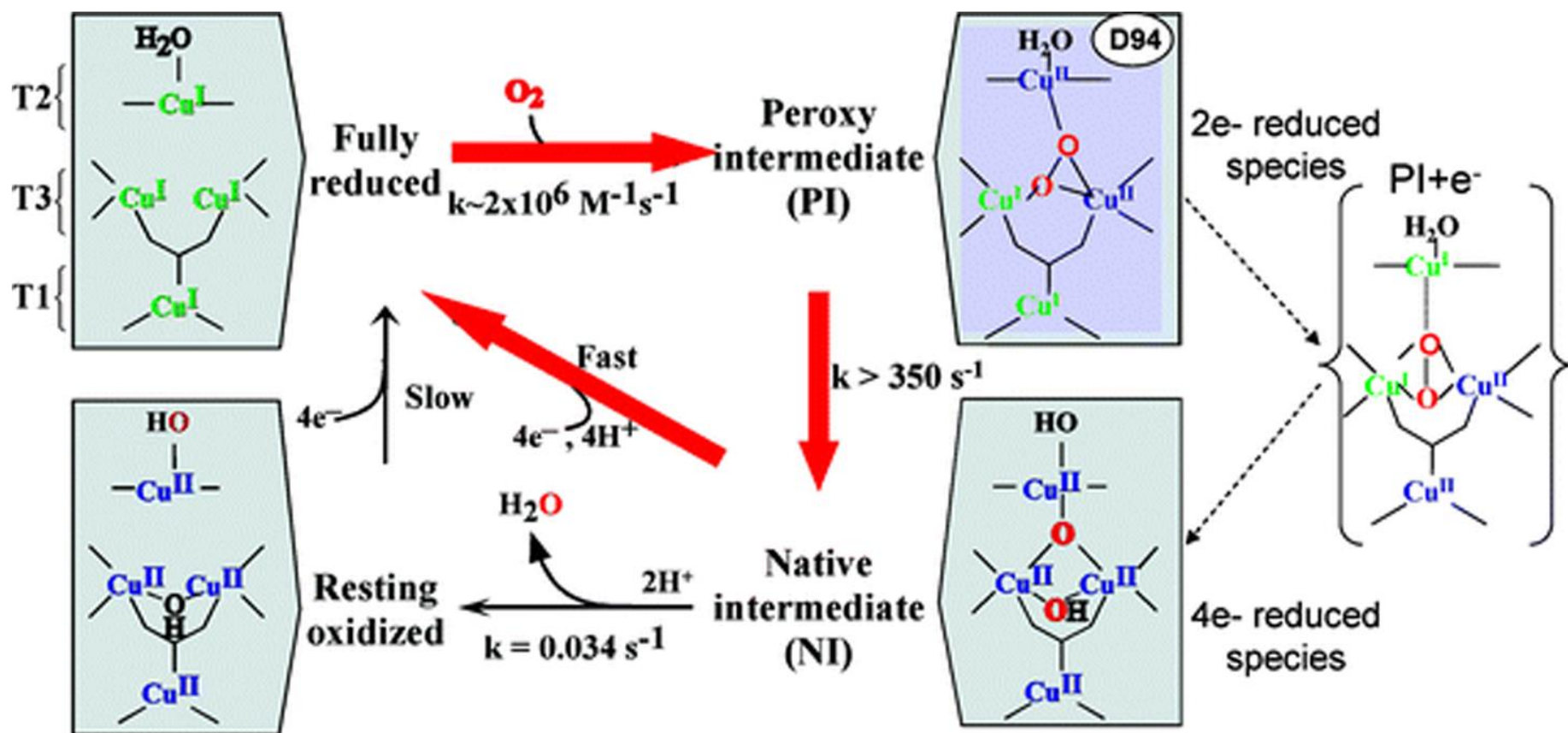
## *Multicopper oxidases, MCOs* (ossidasi azzurre)



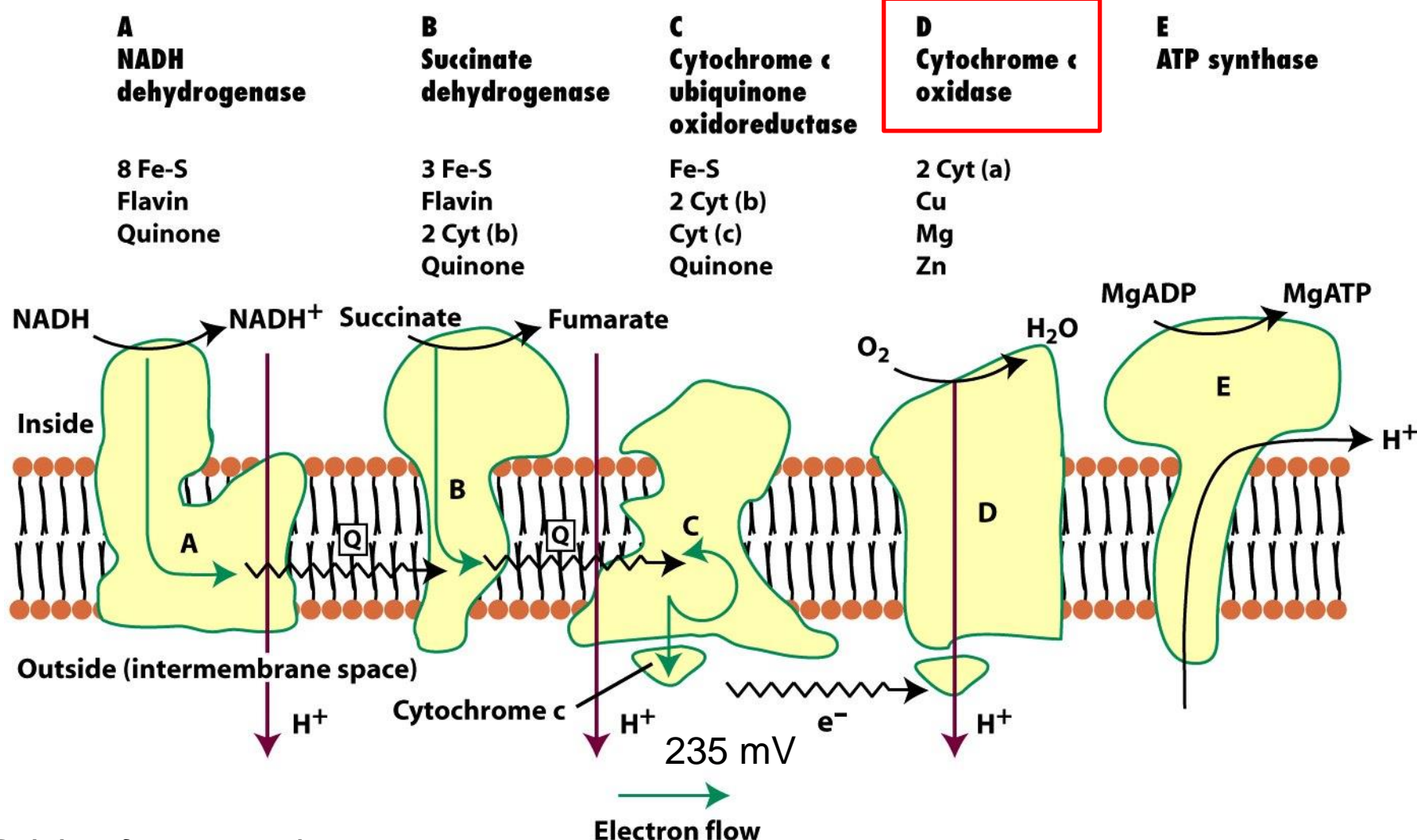


## Ascorbato ossidasi (da zucchini)





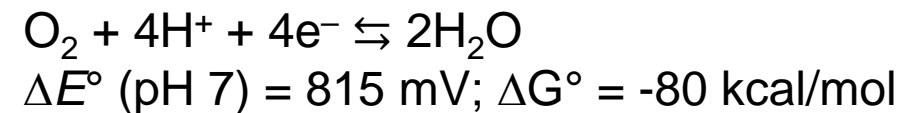
# Catena respiratoria (fosforilazione ossidativa)



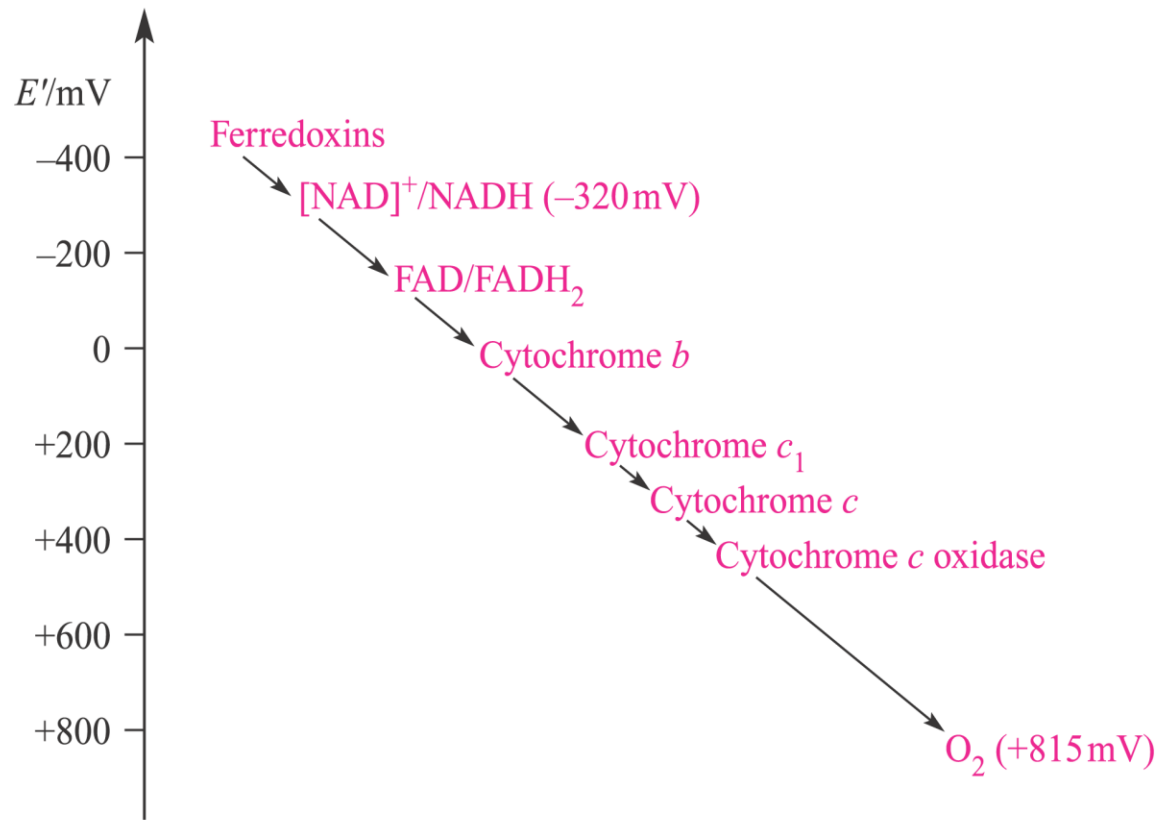
Driving force per elettrone:

$$815 - 235 = 580 \text{ mV} (\text{ca. } 13 \text{ kcal/mol})$$

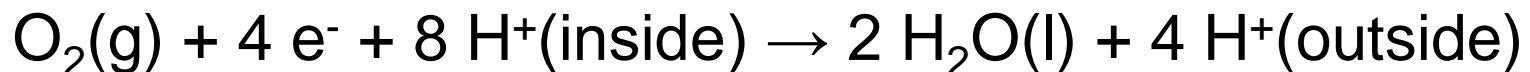
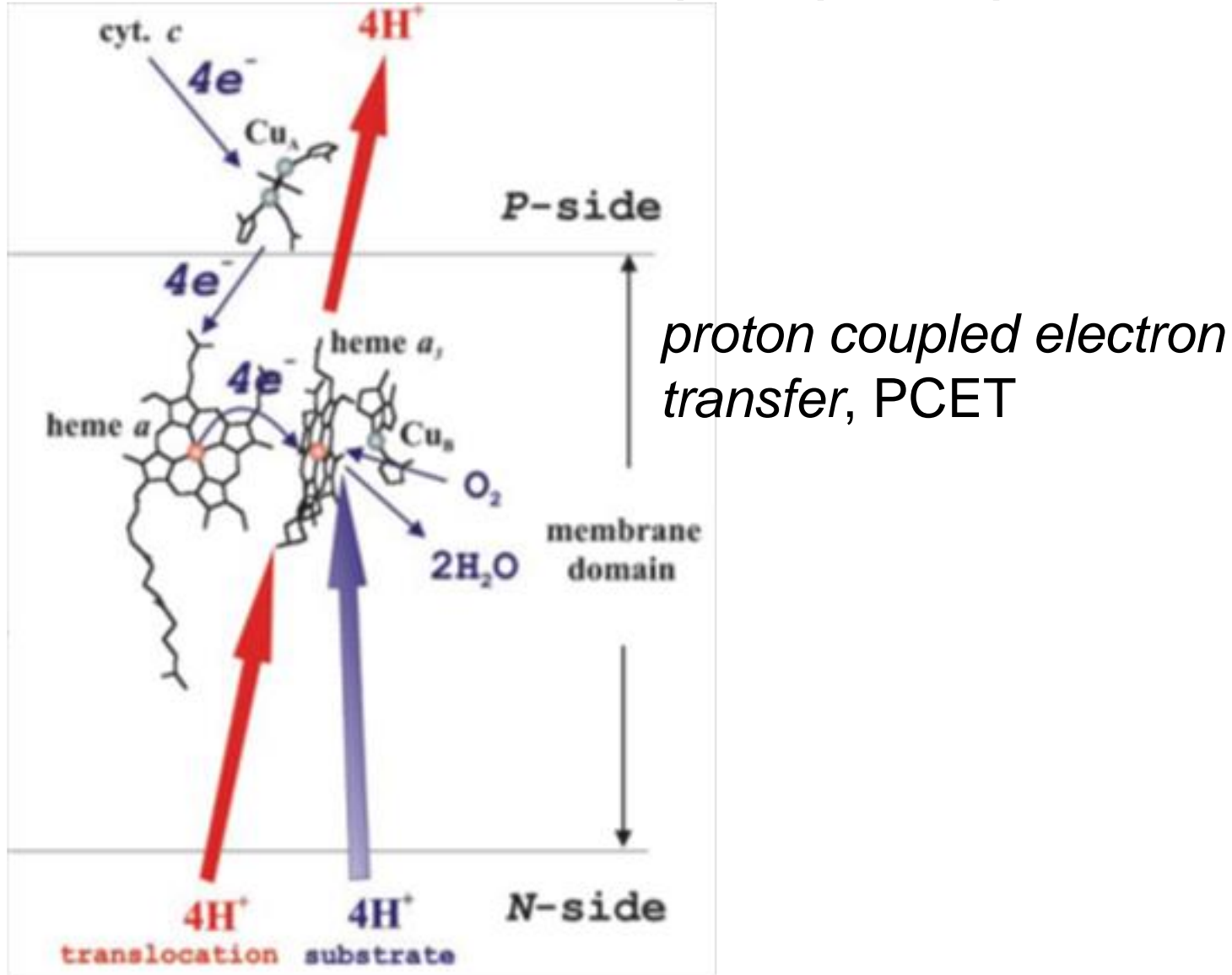
Ossidazione del Fe<sup>2+</sup> in Cyt c



# La sequenza di trasferimenti elettronici nei mitocondri

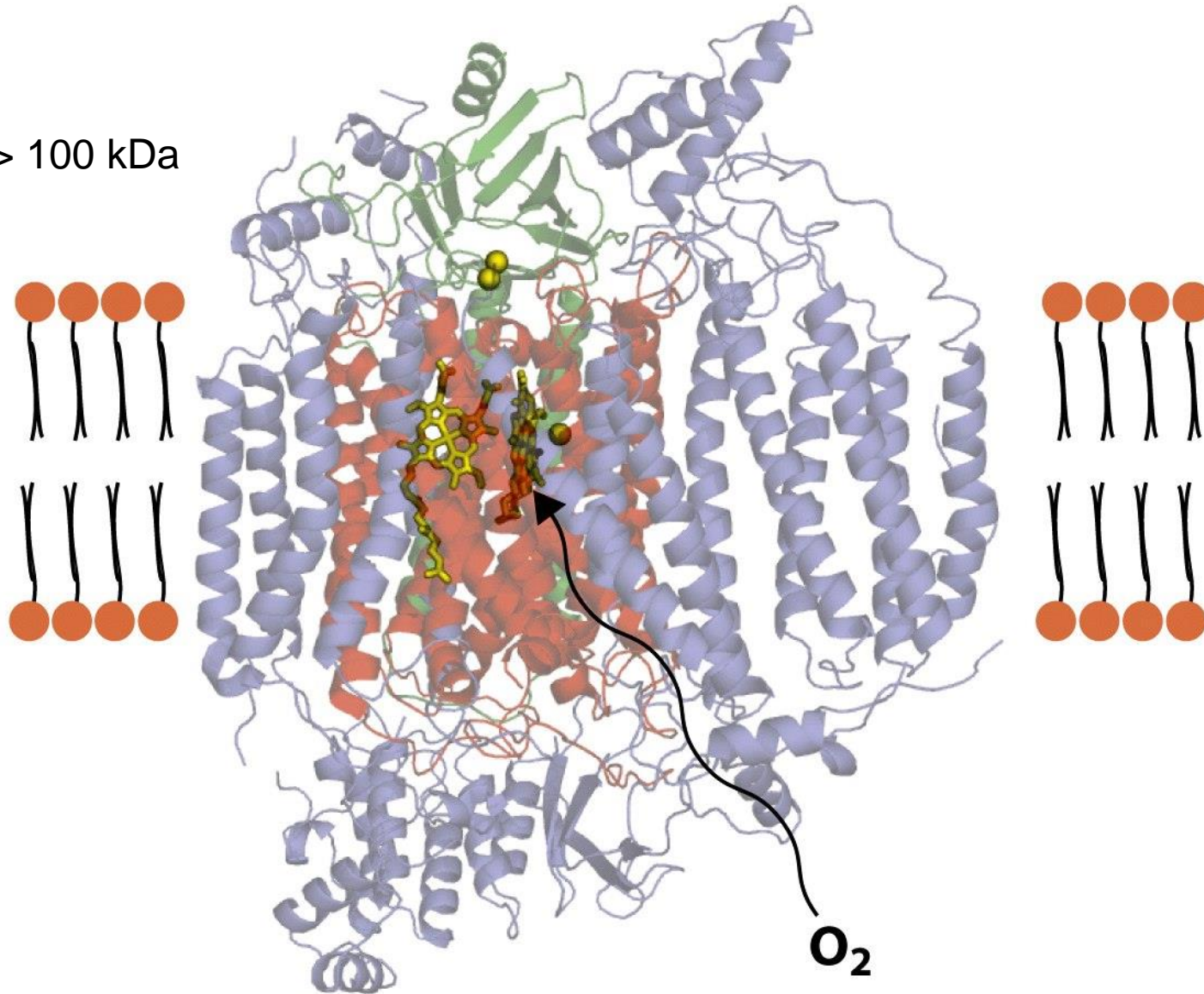


# La CcO è anche una pompa di protoni

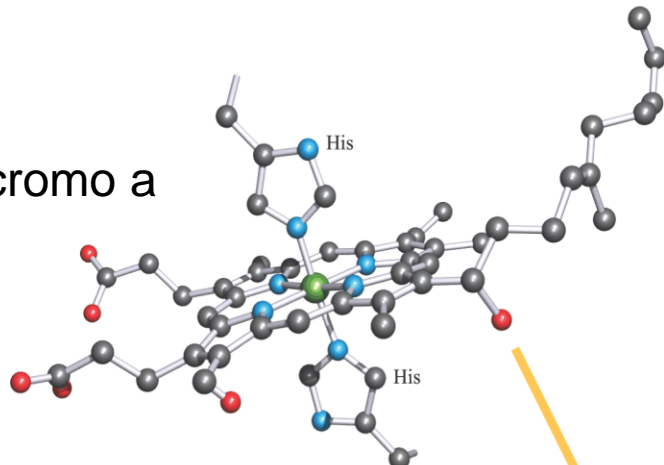


# Reacts with cytochrome C

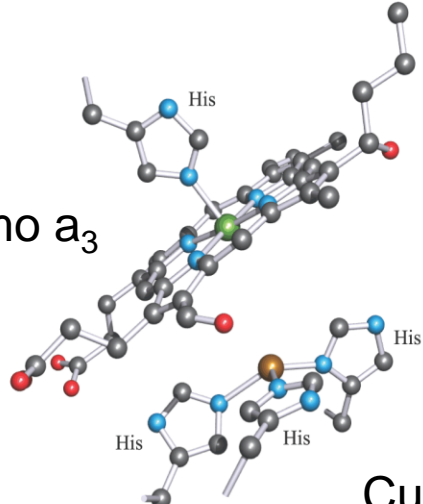
> 100 kDa



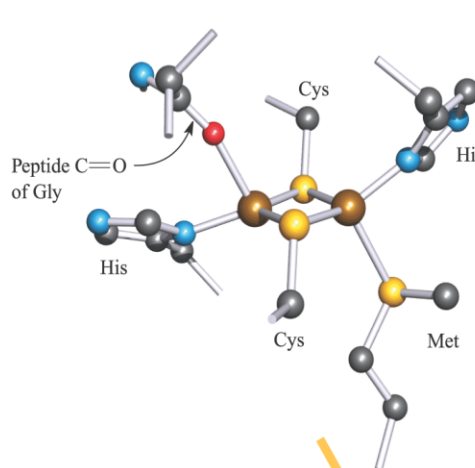
citocromo a



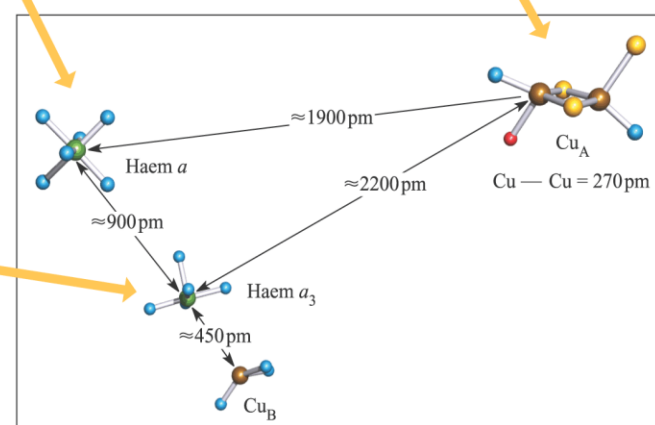
citocromo a<sub>3</sub>

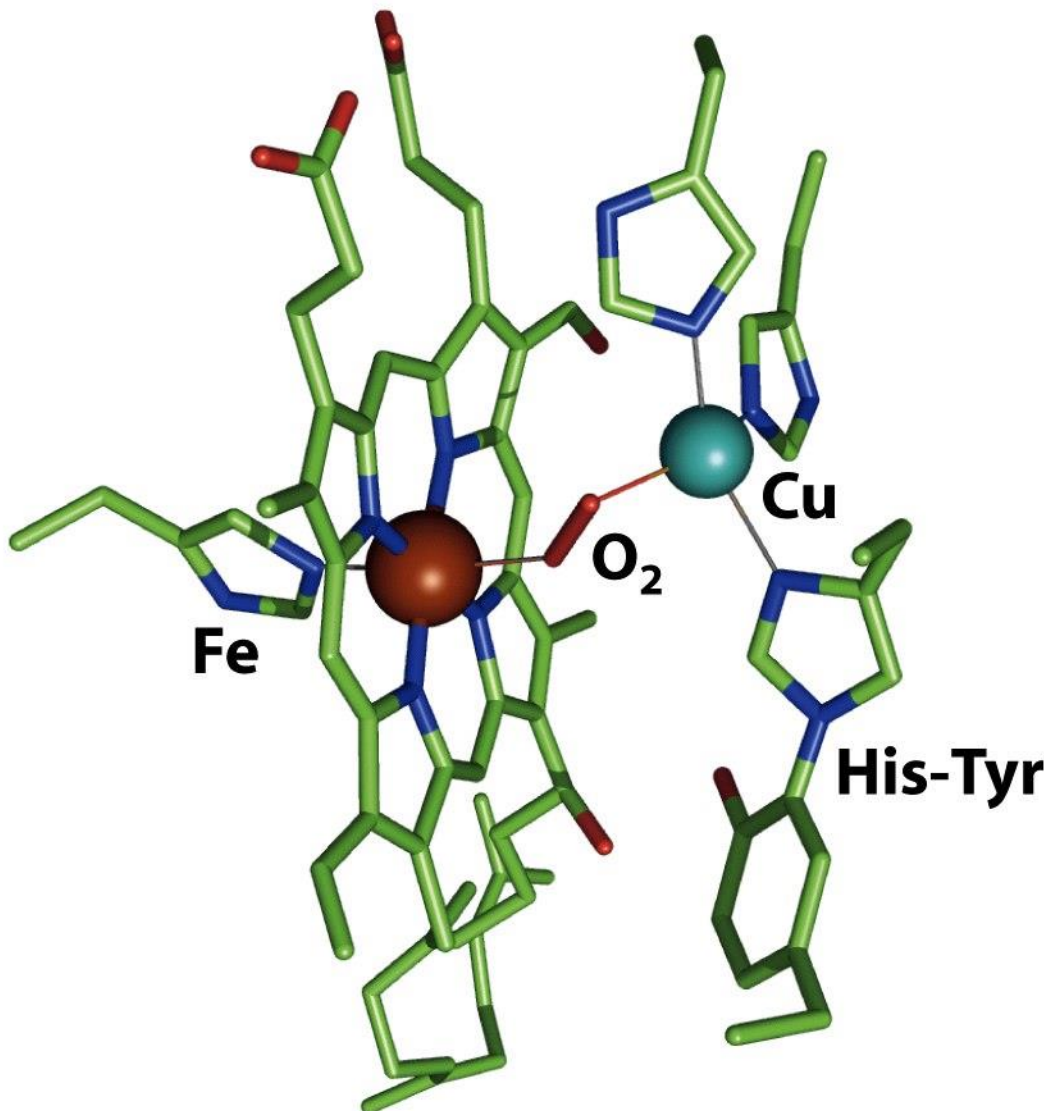


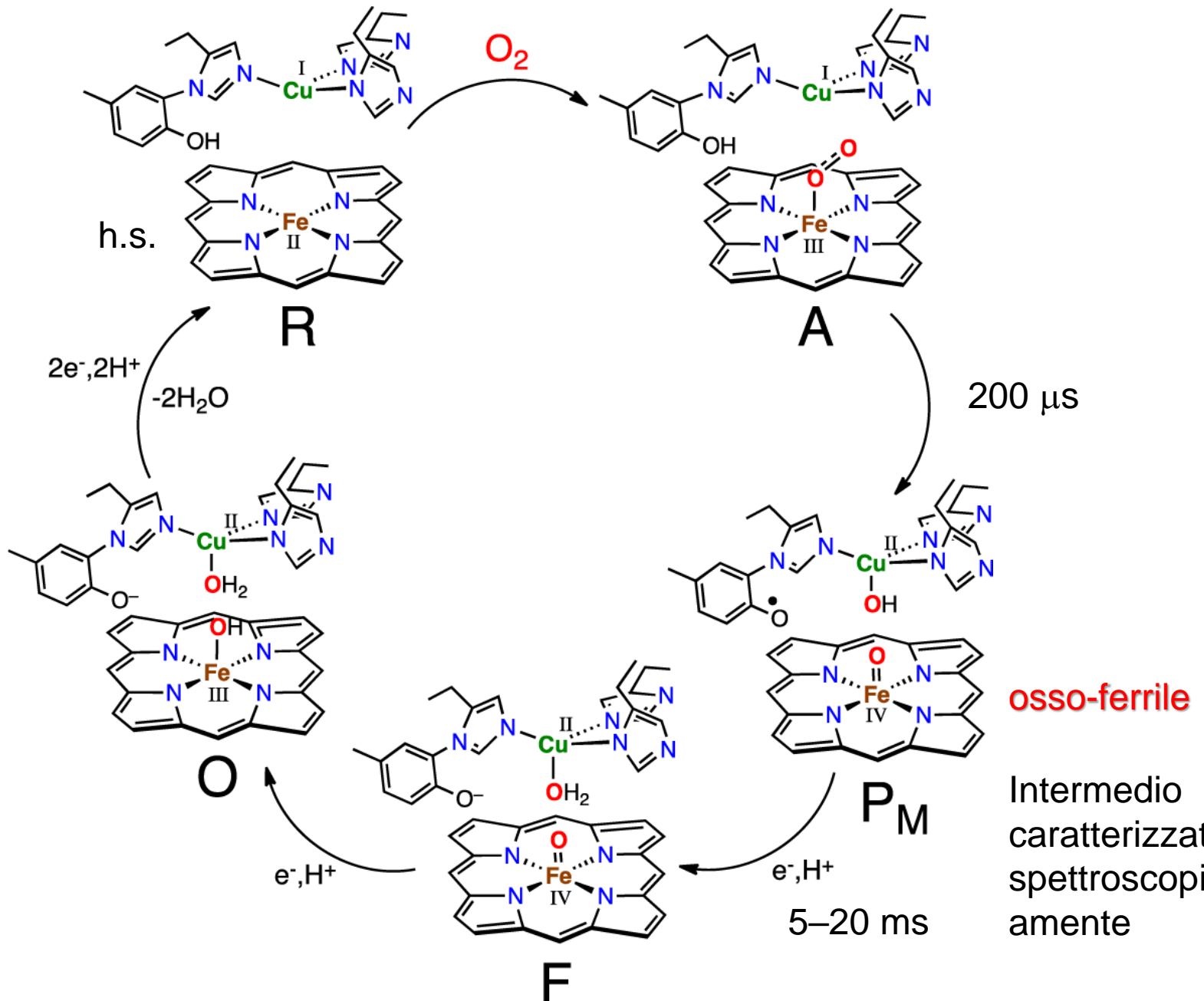
Cu<sub>B</sub> (rame tipo 2)



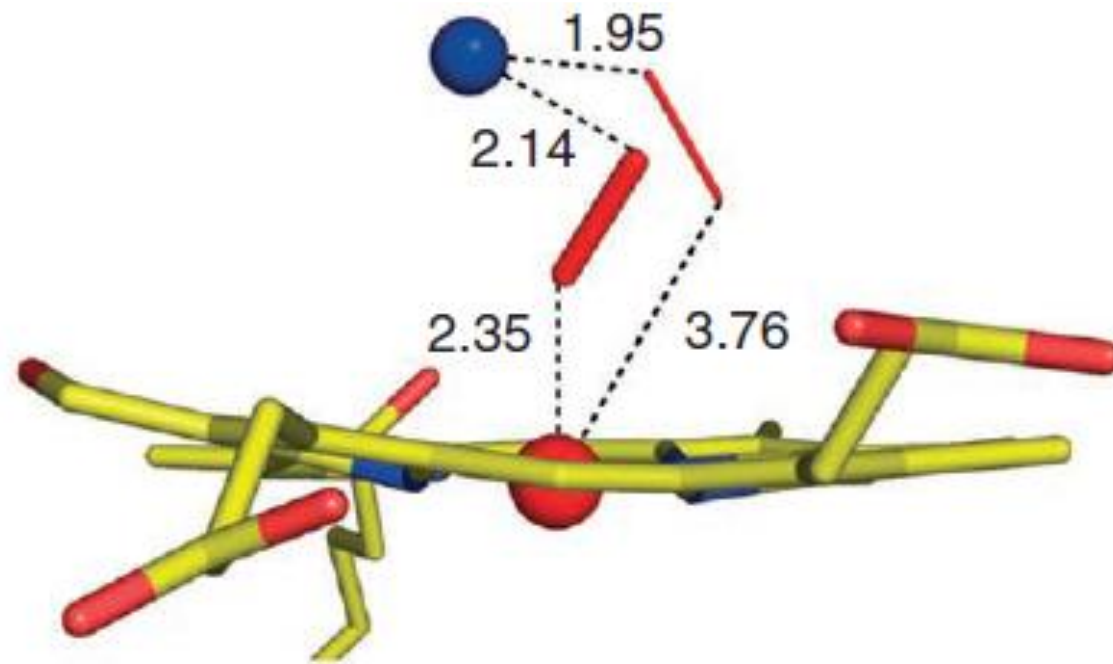
Cu<sub>A</sub>



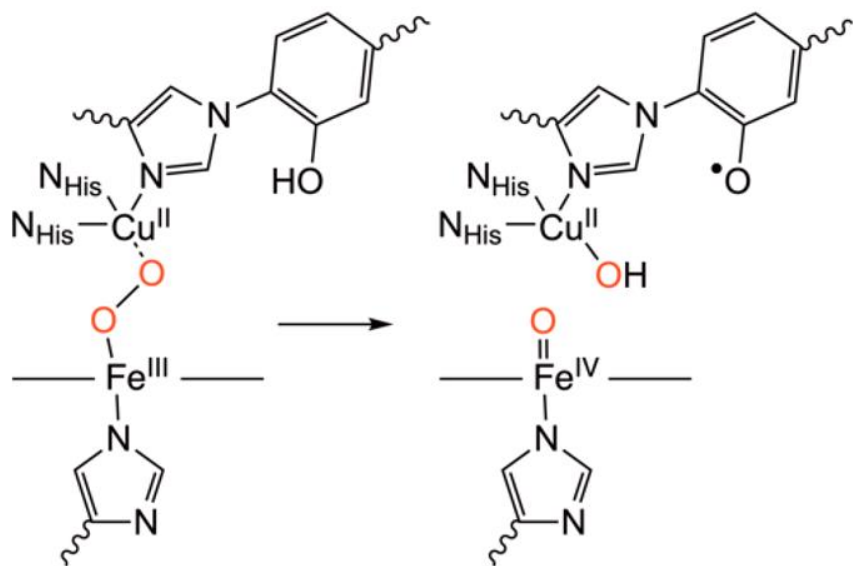




# Intermedio perossidico *X-ray free-electron laser (XFEL)*

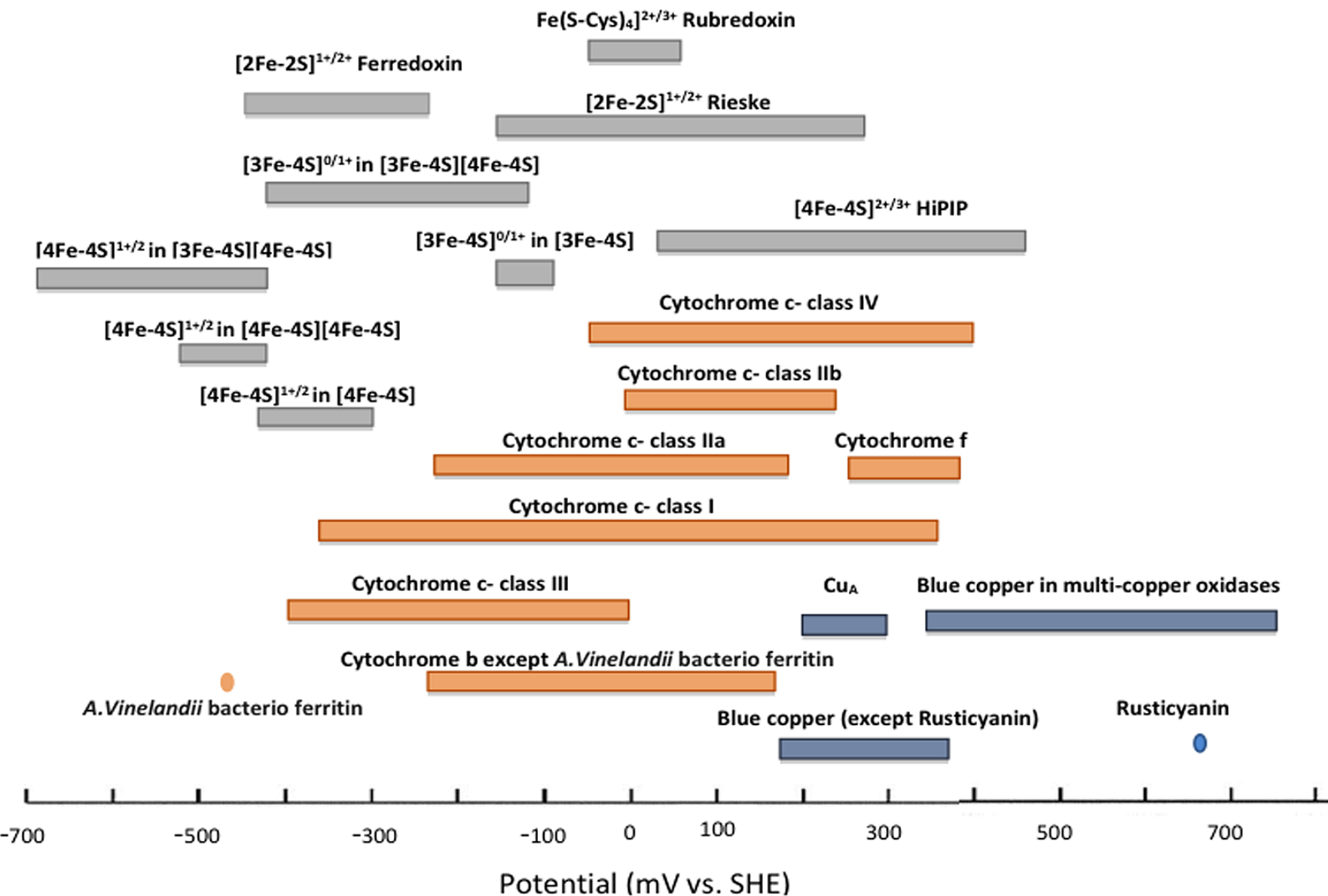


*Nature*, 2014



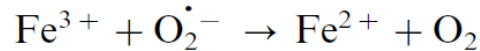
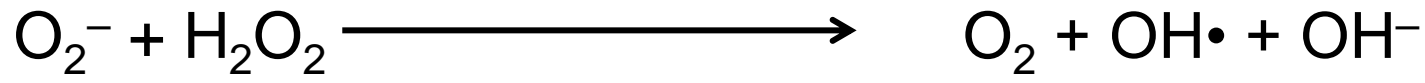
**(a) Proposed O-O cleavage mechanism in CcO**

# Metallo-proteine per trasferimento elettronico



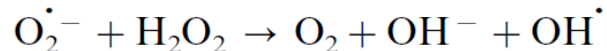
# *Reactive Oxygen Species (ROS)*

## Reazione di Haber-Weiss

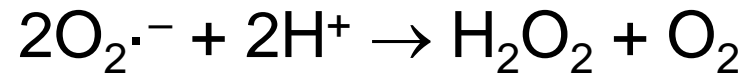
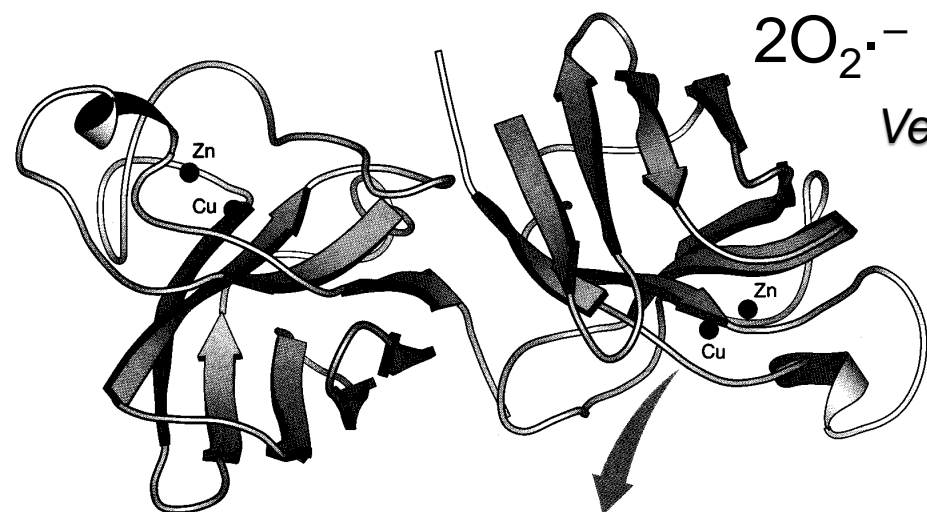


## Reazione di Fenton

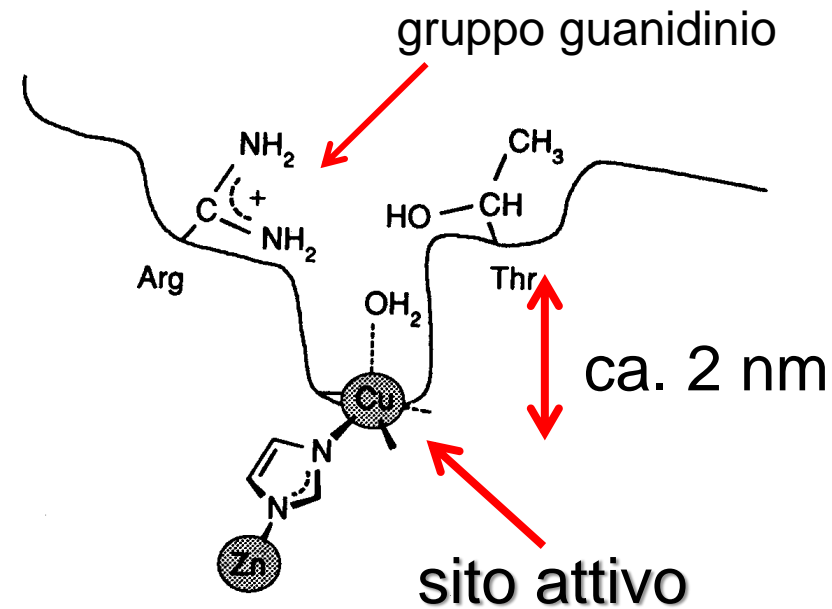
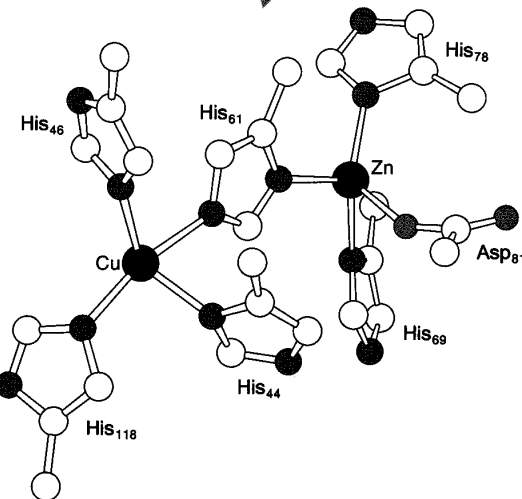
The net reaction:



# Cu-Zn superossido dismutasi



*Velocità quasi-diffusiva*



# Ciclo catalitico della superossido dismutasi

